

# جداسازی فولیکول‌های زنده از بافت تخدمان منجمد شده انسان

فرناز تاج‌بخش<sup>۱\*</sup>، سمیه توانا<sup>۲</sup>، محمد کاظمی آشتیانی<sup>۳</sup>، نعمیه سادات ابطحی<sup>۱</sup>،

لیلا‌سادات طاهائی<sup>۱</sup>، اشرف معینی<sup>۴،۵،۶</sup>، روح‌الله فتحی<sup>۲\*</sup>

## مقاله پژوهشی

**مقدمه:** انجماد بافت تخدمان بهترین روش حفظ باروری برای دختران نابالغ و زنان مبتلا به سرطان است. اما به دلیل احتمال برگشت سلول‌های بدخیم بعد از پیوند بافت، جداسازی فولیکول از بافت تخدمان منجمد - ذوب‌شده این افراد برای بلوغ آزمایشگاهی یا ساخت تخدمان مصنوعی مورد توجه است. هدف از این مطالعه، ارزیابی تأثیر رنگ حیاتی نوترال رد (Neutral red; NR) و آنزیم کلائزاز در جداسازی موفق فولیکول زنده از قطعات بافت تخدمان انسانی منجمد شده است.

**روش بررسی:** در این مطالعه تجربی- مداخله‌ای، دو گروه اصلی وجود دارد: گروه حاوی رنگ حیاتی NR و گروه بدون NR. قطعات خردشده ( $5 \times 0.5$  میلی‌متر) از بافت تخدمان منجمد شیشه‌ای - ذوب‌شده ۱۰ فرد تراجنسی، برای هضم آنزیمی به دو فالکون حاوی HTCM و آنزیم کلائزاز (mg/ml) منتقل شد. به یکی از فالکون‌ها NR اضافه شد. سپس فولیکول‌ها با روش مکانیکی جداسازی شدند. فولیکول‌های جداسازی شده از نظر ریخت‌شناسی و اندازه برسی شدند. میزان زنده‌مانی و سلامت فولیکول‌ها با رنگ فلورورسنت Calcein-AM و Ethidium homodimer-I t-test توسط نرم‌افزار GraphPad Prism مورد ارزیابی قرار گرفت.

**نتایج:** تعداد فولیکول‌های جداسازی شده با  $NR = 25/0.2 \pm 46/50$  بیشتر از زمانی است که از NR برای جداسازی استفاده نشد ( $P < 0.0001$ ). هم چنین با توجه به ارزیابی‌های بدوی ( $77/4$  درصد) و اولیه ( $21/12$  درصد) بودند و تنها تعداد کمی فولیکول‌های ثانویه ( $1/4$  درصد) در بافت تخدمان این افراد وجود داشت. رنگ‌آمیزی Live/dead زنده‌بودن فولیکول‌ها را بانمایش رنگ سبز تأیید کرد.

**نتیجه‌گیری:** براساس نتایج استفاده همزمان از کلائزاز IA و رنگ حیاتی Neutral red نقش مهمی در سهولت جداسازی فولیکول از بافت تخدمان متراکم انسان دارد.

**واژه‌های کلیدی:** جداسازی فولیکول انسانی، Neutral Red، انجاماد، مهندسی بافت، رنگ‌آمیزی Live/dead

**ارجاع:** تاج‌بخش فرناز، توانا سمیه، کاظمی آشتیانی محمد، ابطحی نعمیه‌سادات، طاهائی لیلا‌سادات، معینی اشرف، فتحی روح‌الله. جداسازی فولیکول‌های زنده از بافت تخدمان منجمد شده انسان. مجله علمی پژوهشی دانشگاه علوم پزشکی شهید صدوقی یزد ۱۴۰۳، ۲۲ (۱۰): ۸۳۰-۴۱.

۱- دانشجوی دانشگاه علم و فرهنگ، دانشکده زیست‌شناسی تکوینی، تهران، ایران.

۲- پژوهشگاه رویان، پژوهشکده زیست‌شناسی و علوم پزشکی تولیدمثل جهاددانشگاهی، مرکز تحقیقات پزشکی تولیدمثل، گروه جنین‌شناسی، تهران، ایران.

۳- پژوهشگاه رویان، پژوهشکده زیست‌شناسی و فناوری سلول‌های بنیادی جهاددانشگاهی، مرکز تحقیقات علوم سلولی، گروه مهندسی سلول، تهران، ایران.

۴- پژوهشگاه رویان، پژوهشکده زیست‌شناسی و علوم پزشکی تولیدمثل جهاد دانشگاهی، مرکز تحقیقات پزشکی تولیدمثل، گروه اندوکرینولوژی و ناباروری زنان، تهران، ایران.

۵- دانشگاه علوم پزشکی تهران، دانشکده پزشکی، گروه زنان و زایمان، تهران، ایران.

۶- بخش زنان و زایمان بیمارستان آرش، دانشگاه علوم پزشکی تهران، تهران، ایران.

\*نویسنده مسئول؛ تلفن: ۰۹۱۲۹۴۷۹۶۲۱، پست الکترونیکی: rfathi79@royaninstitute.org، صندوق پستی: ۱۶۵۶۵۹۹۱۱

## مقدمه

انسانی استفاده شده است که می‌توان به آنزیم کلازناز I (۲۲)، لیبراز بلندزیم ۳ (Liberase blendzyme 3) (۲۲-۲۴)، لیبراز Liberase Thermolysin TM (۲۵)، لیبراز IV (۲۶) به همراه کلازناز Medium (۲۸-۲۶) و آنزیم تجزیه کننده Tumor Dissociation Enzyme; TDE (۱۵) اشاره کرد. اولین جداسازی موفق فولیکول‌های بدبوی (Primordial) تخمدان انسانی توسط اوکتی و همکاران در سال ۱۹۹۷ انجام شد. در این مطالعه از آنزیم کلازناز IA همراه با روش مکانیکی برای جداسازی فولیکول‌های بدبوی استفاده شد (۲۹). با توجه به دسترسی راحت‌تر به آنزیم کلازناز IA در ایران و البته قیمت مناسب‌تر آن نسبت به انواع لیبراز، بررسی اثر این آنزیم در جداسازی موفق فولیکول‌های انسانی دور از انتظار نیست. از سوی دیگر، رنگ قرمز خنثی (Neutral Red; NR) نوعی رنگ حیاتی است که در لیزوژوم سلولی جمع شده و رنگ قرمز تیره‌ای ایجاد می‌کند (۳۰). این رنگ به شناسایی و جداسازی هر چه بهتر فولیکول‌های زنده و سالم از بافت متراکم تخمدان انسان کمک می‌کند (۳۱، ۳۲). هدف ما در این مطالعه استفاده از ترکیب آنزیم کلازناز IA به همراه رنگ حیاتی NR به منظور جداسازی فولیکول‌های زنده از بافت قشر تخمدان انسانی منجمد شده است. این کار به منظور شناسایی راحت‌تر و سریع‌تر فولیکول‌های سالم و زنده در بافت تخمدان و افزایش تعداد فولیکول‌های جداسازی‌شده در بازه زمانی یک ساعت انجام می‌شود. همچنین، قصد داریم تا سلامت فولیکول‌های جداسازی‌شده با آنزیم کلازناز IA را مورد ارزیابی قرار دهیم.

## روش بررسی

گرفتن نمونه تخمدان و کسب رضایت از بیمار: نمونه تخمدان با کسب رضایت از ۱۰ بیمار تراجنسی س که تحت عمل تغییر جنسیت قرار گرفتند از بیمارستان آرش (تهران، ایران) تهیه شد و درون فالکون حاوی سرم فیزیولوژی در فلاکس حاوی یخ به آزمایشگاه بانک تخمدان انسانی (Ovarian tissue bank; OTB) پژوهشگاه رویان (تهران، ایران) منتقل شد. تمام بافت‌های تخمدان مورد استفاده در این تحقیق بعد از منجمد شدن با روش انجام شیشه‌ای

آمار ابتلا به سرطان در سال‌های اخیر افزایش یافته است (۱). تقریباً از هر ۳۰۰ خانمی که به اواسط سن چهل سالگی می‌رسند یک نفر به سرطان مبتلا می‌شود (۲، ۳). هرچند روش‌های درمان سرطان اثر مثبتی در میزان زنده‌مانی بیماران و افزایش طول عمر آن‌ها دارد، اما روش‌هایی مانند شیمی‌درمانی و پرتو درمانی می‌توانند به مشکلاتی مثل نارسایی زودرس تخمدان (POF; Premature ovarian failure) و ناباروری منجر شوند (۴-۶). انجاماد بافت تخمدان، یکی از روش‌های امیدبخش برای دختران زیر سن بلوغ و افرادی است که زمان کافی برای تحریک بافت تخمدان و انجاماد تخمک و جنین ندارند (۷-۹). از طرفی انجاماد بافت تخمدان، علاوه بر کمک به حفظ باروری در افراد مبتلا به سرطان، در مواردی مثل افزایش سن و عدم ازدواج، به تأخیر انداختن فرزندآوری بهدلیل موضوعات اقتصادی و همچنین حفظ عملکرد هورمونی بعد از یائسگی کاربرد دارد (۱۰، ۱۱). در بیماری‌هایی مثل لوسمی که پیوند مجدد بافت تخمدان انجامادی با احتمال وجود سلول‌های بدخیم و بازگشت بیماری همراه است، پیوند مجدد بافت پیشنهاد نمی‌شود (۱۲، ۱۳). با این حال، فولیکول‌های تخمدان بهوسیله لایه‌ای از غشای پایه احاطه شده‌اند که به صورت یک سد فیزیکی از فولیکول در برابر سلول‌های بدخیم بافت تخمدان حفاظت می‌کند (۱۴). بر همین اساس، جداسازی فولیکول‌ها از بافت تخمدان، قرار دادن آنها در یک داربست مهندسی‌شده به عنوان تخمدان مصنوعی و پیوند آن به فرد بهبودیافته می‌تواند روشی ایمن و جایگزین برای این گروه از افراد باشد (۱۵، ۱۶). در سال‌های اخیر تولید تخمدان مصنوعی قابل پیوند مورد توجه قرار گرفته است (۱۷، ۱۸). اولین مرحله در فرآیند ساخت تخمدان مصنوعی جداسازی فولیکول‌های باکیفیت و سالم و تا حد امکان با تعداد بالا است (۱۹، ۲۰). با توجه به افزایش آمار سرطان در ایران (۲۱)، بهینه‌سازی و انجام درست روش جداسازی فولیکول از بافت‌های ذخیره‌شده بیماران ضروری و اجتناب‌ناپذیر است. تاکنون، آنزیم‌های مختلفی برای جداسازی فولیکول از بافت مرکز یا قشر تخمدان

روی دستگاه تکان‌دهنده (Shaker) STM.1300) با سرعت ۱۲۵ rpm قرار گرفت. سپس هر نمونه به مدت ۱۰ دقیقه در محیط تعادلی حاوی ۱۵ درصد DMSO، ۱۵ درصد HSA و ۱۵ درصد EG، ۰/۲۵ مولار سوکروز به همراه ۲۰ درصد HEPES بر روی دستگاه تکان‌دهنده با سرعت ۱۲۵ rpm و دمای ۴°C شستشو داده شد. در مرحله بعد، محیط اضافی هر نمونه با گاز تمیز گرفته شد و نمونه به ظرف حاوی نیتروژن منتقل شد. بعد از انجماد سریع هر قطعه بافت تخدمان، نمونه به یک کرایوویال حاوی نیتروژن مایع منتقل شد و با بارگذاری در میله‌های مخصوص حمل نمونه در تانک ازت نگهداری شد.

ذوب بافت تخدمان انسانی: ذوب بافت تخدمان با توجه به روش انجام شده در بانک تخدمان انسانی پژوهشگاه رویان انجام شد (۳۲). برای هر بار جداسازی فولیکول انسانی، دو قطعه بافت تخدمان انسانی از تانک ازت خارج شد و به مدت ۳۰ ثانیه روی میز کار آزمایشگاه قرار گرفت تا گاز نیتروژن داخل کرایوویال خارج شده و تا حدودی با محیط هم دما شود. سپس نمونه‌های تخدمان از کرایوویال بیرون آورده شد و به ترتیب به مدت ۵ دقیقه در هر کدام از محیط‌های ذوب حاوی HTCM و ۲۰ درصد HSA به همراه مقادیر کاهاشی سوکروز (۱، ۰/۵ و ۰/۰۱۲۵) قرار گرفت. در نهایت، نمونه به محیط‌های بازیابی W۵ و W۶ حاوی HTCM و ۲۰ درصد HSA منتقل شد و به مدت ۱۰ دقیقه در هر محیط در انکوباتور (دما ۳۷°C، CO<sub>2</sub> ۹۵ درصد، ۵/۵ CO<sub>2</sub>، ۰/۵ رطوبت) قرار گرفت.

جداسازی فولیکول‌های تخدمان انسانی: روش کلی جداسازی فولیکول‌های تخدمان انسانی براساس مقالات مشابه این کار (۲۸، ۲۲) و با پروتکل‌های مربوط به بانک تخدمان انسانی (۳۲) انجام شد. بافت تخدمان ذوب شده با استفاده از دستگاه خردکن McIlwain Tissue Chopper (UK, Guildford, McIlwain Tissue Chopper) به قطعات کوچکتر به ابعاد ۰/۵×۰/۵ میلی‌متر خرد و به ظروف فالکون ۱۵ میلی‌لیتری حاوی ۵ میلی‌لیتر محیط HTCM، ۱ میلی‌گرم بر میلی‌لیتر آنزیم کلازنаз I (USA, Sigma-Aldrich) و ۵۰ میلی‌لیتر آنزیم

(Vitrification) در تانک ازت تحقیقات در بانک تخدمان انسانی پژوهشگاه رویان نگهداری شد.

آماده‌سازی بافت تخدمان انسانی: آماده‌سازی نمونه‌های تخدمان با توجه به روش انجام شده در بانک تخدمان انسانی در پژوهشگاه رویان انجام شد (۳۲). به طور خلاصه، نمونه‌های تخدمان با محیط Medium ۱۹۹ (Belgium, Thermo Fisher Scientific) به همراه ۲۰ درصد آلبومین سرم انسانی یا HSA (Germany, Biotest pharma GmbH albumin) به ظرف کشت حاوی همین محیط که روی یخ قرار داشت منتقل شد. در مرحله بعد، تخدمان با استفاده از تیغ جراحی (شماره ۱۱) از وسط باز شد، به طوری که دو سطح مرکزی تخدمان رو به بالا قرار گرفت و یک ساختار پروانه‌ای شکل ایجاد شد. سپس، با استفاده از همان تیغ، برش‌های کوچک، کم عمق و در جهات مختلف به بخش مرکزی تخدمان وارد و با استفاده از قیچی سرچ بخش مرکزی تخدمان به آرامی بریده و جدا شد تا تنها بخش قشر تخدمان با ضخامت حداقل ۱ میلی‌متر باقی بماند. در گام بعدی، با قرار دادن یک کاغذ شترنجی با مربع‌های به ابعاد ۵×۵ میلی‌متر در زیر ظرف کشت حاوی تخدمان، بافت قشر تخدمان به قطعات کوچک‌تر ۱۰×۵ میلی‌متری برش خورد. بسته به اندازه تخدمان تعداد قطعات آماده شده متغیر و بین ۱۲ تا ۳۲ قطعه (میانگین تعداد قطعات ۶۰/۲ ± ۱۸/۴۰) را شامل شد (شکل ۱ و شکل ۲ الف و ت).

انجماد بافت تخدمان انسانی: انجماد بافت تخدمان بر اساس دستورالعمل راهاندازی شده در بانک تخدمان انسانی پژوهشگاه رویان انجام شد (۳۲). برای نمونه‌های تحقیقاتی، از انجماد شیشه‌ای (Vitrification) دو مرحله‌ای استفاده شد. به طوری که، هر قطعه ۱۰×۵ میلی‌متری نمونه تخدمان به مدت ۱۵ دقیقه در محیط تعادلی حاوی HTCM، دی‌متیل‌سولفونکساید (UK, Sigma-Aldrich; dimethyl sulfoxide) (DMSO)، اتیلن‌گلیکول (UK, Sigma-Aldrich; Ethylene Glycol) (EG)، (هر کدام ۷/۵ درصد) به همراه ۲۰ درصد آلبومین سرم انسانی (HAS; Human Serum Albumin)

فولیکول‌هایی که بیشتر از ۱۰ درصد از سلول‌های گرانولوزای آنها آسیب دیده بودند و گروه ۴: فولیکول‌های مرده با بیش از ۵۰ درصد سلول‌های گرانولوزای آسیب‌دیده یا مرده (۳۱).

### تجزیه و تحلیل آماری

بررسی آماری با استفاده از نرم افزار GraphPad Prism (version 8, Graph Pad Software, San Diego, CA) انجام شد. سپس نرمال بودن داده‌ها با روش Shapiro-Wilk بررسی و سپس به منظور مقایسه آماری بین دو گروه از روش t-test استفاده شد. تمام داده‌ها براساس میانگین و انحراف از معیار تعريف (mean  $\pm$  standard deviation) شدند. در تمام آنالیزها  $P \leq 0.05$  معنی‌دار در نظر گرفته شد.

### نتایج

**انجماد و ذوب فولیکول‌های جداسازی شده:** روش انجماد و ذوب بافت تخدمان انسانی به صورت شماتیک در شکل ۱ نمایش داده شده است. نمونه‌های تخدمان انسانی بعد از انتقال به آزمایشگاه و جداسازی بخش مرکزی آنها به قطعات کوچک  $10 \times 5$  میلی‌متری تقسیم شدند (شکل ۲-الف و ت) و با استفاده از محیط‌های انجمادی فرآیند انجماد شیشه‌ای روی آن‌ها انجام گرفت. به طور متوسط از هر نمونه تخدمان ۱۸/۴۰ قطعه حاصل شد (جدول ۱).

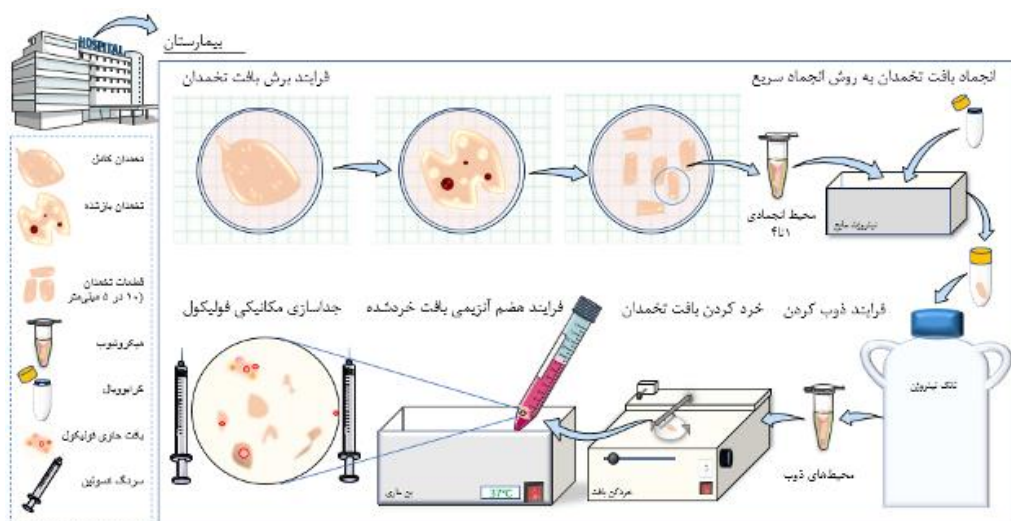
**جداسازی فولیکول‌های انسانی:** تفاوت جداسازی فولیکول با استفاده از رنگ حیاتی Neutral Red یا بدون آن در شکل ۲-ب و ۲-ث نشان داده شده است. همانطور که شکل مشخص است، رنگ حیاتی با ایجاد رنگ قرمز در فولیکول‌ها به تشخیص بهتر آنها کمک می‌کند (شکل ۲-ث)، اما در نبود NR (شکل ۲-ب) تشخیص فولیکول‌های شفاف درون بافت سخت بوده و زمان و دقت بیشتری نیاز دارد. نتایج آماری مربوط به فولیکول‌های جداسازی شده طی ۱ ساعت نیز این موضوع را تأیید می‌کند (شکل ۳). با توجه به نمودار، استفاده از رنگ حیاتی کمک شایانی به سهولت جداسازی فولیکول (میانگین تعداد فولیکول  $25.02 \pm 46.50$  می‌کند و تعداد فولیکول‌های جداسازی شده را افزایش می‌دهد ( $P < 0.0001$ ). از

Sigma-Aldrich) Neutral Red (USA) منتقل شد و به مدت ۶۰ دقیقه در بن ماری با دمای  $37^{\circ}\text{C}$  قرار گرفت. هر ۲۰ دقیقه یکبار محیط حاوی نمونه به آرامی پیپتاژ شد تا هضم آنزیمی به خوبی صورت گیرد. سپس برای توقف فعالیت هضم آنزیمی میزان برابر با محیط آنزیمی، محیط HTCM حاوی HSA سرد به نمونه اضافه شد. بعد از انتقال محیط حاوی نمونه به ظرف کشت و قرار دادن ظرف روی صفحه گرم با دمای  $37^{\circ}\text{C}$ ، شناسایی فولیکول‌ها در زیر استریومیکروسکوپ (Nikon SMZ.800 Japan) انجام شد و با استفاده از سوزن انسولین فرآیند جداسازی مکانیکی فولیکول‌ها از بافت تخدمان کامل شد. فولیکول‌های جداسازی شده با استفاده از پیپت پاستور ۱۳۰ میکرومتری به قطره‌های تازه‌ای از محیط HTCM و سرم ۲۰ درصد گرم در ظرف کشت دیگر منتقل شدند.

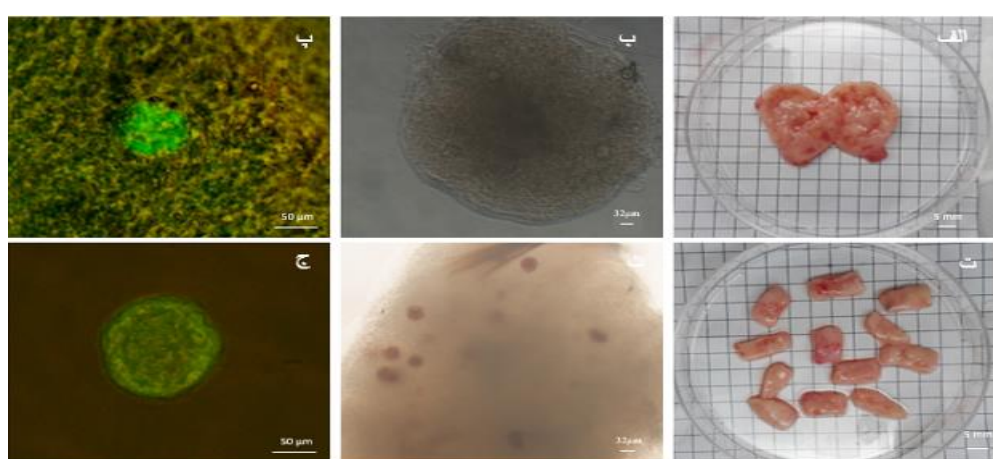
**بررسی زنده‌مانی فولیکول‌های جداسازی شده:** بررسی زنده‌مانی فولیکول‌های انسانی با توجه به روش به کار رفته در مقاله دولمانز و همکاران انجام شد (۲۳). برای بررسی زنده‌مانی فولیکول‌های انسانی جداسازی شده، از محیط آنزیمی بدون رنگ حیاتی استفاده شد تا ارزیابی سلامت آن‌ها با استفاده از دو رنگ فلورئورسنت (USA Invitrogen) Calcein AM و (USA Invitrogen) Ethidium homodimer I بعد از جداسازی، فولیکول‌ها به مدت ۲۰ دقیقه در قطره‌های حاصل از ۱۰۰ میکرولیتر PBS حاوی ۲ میکرومولار Calcein (Invitrogen, Carlsbad, USA) AM ۵ میکرومولار (Invitrogen, Carlsbad, ) Ethidium homodimer I (USA) و در محیط انکباتور (demai  $37^{\circ}\text{C}$ )، رطوبت ۹۵ درصد،  $5/5 \text{ CO}_2$  قرار گرفتند. سپس با استفاده از میکروسکوپ فلورئورسنت (Olympus BX51, Japan) بررسی و عکس‌برداری از فولیکول‌ها انجام شد. در این روش رنگ‌آمیزی فولیکول‌ها براساس نمایش رنگ سبز یا قرمز به ۴ گروه تقسیم می‌شوند: گروه ۱: فولیکول‌های زنده شامل سلول‌های گرانولوزا و تخمک سالم؛ گروه ۲: فولیکول‌هایی که کمتر از ۱۰ درصد از سلول‌های گرانولوزای آنها آسیب دیده بودند؛ گروه ۳:

بررسی زنده‌مانی فولیکول‌های جداسازی شده: در مجموع ۵ فولیکول با رنگ فلورورستن Calcein AM در ترکیب با Ethidium homodimer I رنگ‌آمیزی و توسط میکروسکوپ فلورورستن بررسی شد. نتایج این بررسی در شکل ۲-پ و ج آورده شده است. در این بررسی تمام فولیکول‌ها سالم و به رنگ سبز (گروه ۱) بودند و فولیکول آسیب‌دیده‌ای مشاهده نشد.

آنچهایی که جداسازی فولیکول‌های از قشر بافت تخمدان انجام شد، بیشتر فولیکول‌های جداسازی شده از نوع فولیکول‌های بدوى (۷۳/۵ درصد) بودند. فولیکول‌های اولیه (۲۴/۵ درصد) و ثانویه (۲ درصد) سهم کمتری از فولیکول‌ها را به خود اختصاص دادند (جدول ۲).



شکل ۱: تصویر شماتیک از فرایند انجمامد-ذوب و جداسازی فولیکول‌های تخمدان انسانی



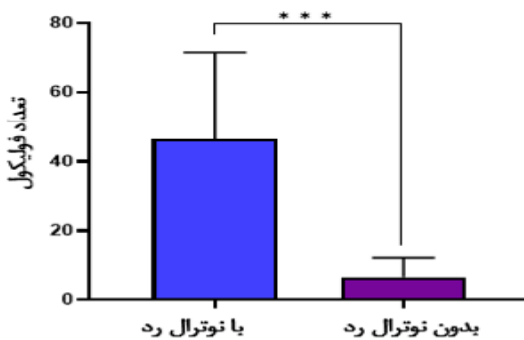
شکل ۲: تخمدان انسانی و فولیکول‌های جداسازی شده از آن.

الف و ت) تخمدان انسان و قطعات حاصل از آن. ب و ث) فولیکول‌های جداسازی شده بدون استفاده از رنگ حیاتی نوتراال رد یا همراه با آن. در شکل ب شناسایی همه فولیکول‌ها کار چندان آسانی نیست. اما در شکل ث فولیکول‌های به راحتی با دریافت رنگ قرمز قابل شناسایی و ردهایی هستند. ب و ج) ارزیابی زنده‌مانی فولیکول‌های جداسازی شده با استفاده از رنگ فلورورستن Ethidium homodimer-I و Calcein-AM

جدول ۱: تعداد قطعات جداسازی شده از هر نمونه تخدمان افراد تراجنسي

نمونه تخدمان	بیمار ۱	بیمار ۲	بیمار ۳	بیمار ۴	بیمار ۵	بیمار ۶	بیمار ۷	بیمار ۸	بیمار ۹	بیمار ۱۰	تعداد قطعات حاصل از برش بافت*
۲۰	۱۷	۱۴	۱۷	۲۰	۱۵	۱۲	۱۳	۲۴	۳۲	۴۰	۱۸/۴۰ ± ۶/۰۲
۱۳	۱۷	۱۴	۱۷	۲۰	۱۵	۱۲	۱۳	۲۴	۳۲	۴۶	۱۸/۴۶ ± ۵/۵۸
۵	۳	۴	۲	۹	۲	۳	۸	۱۰	۱۰	۱۰	۵
۲	۰	۰	۰	۱	۰	۱	۰	۰	۰	۰	۰

\* اندازه هر قطعه تخدمان  $5 \times 10$  میلی متر \*\* میانگین تعداد قطعات حاصل از تخدمان به همراه انحراف از معیار:  $18/40 \pm 6/02$



شکل ۳: بررسی آماری فولیکول‌های جداسازی شده انسانی با استفاده از رنگ حیاتی نوتراال رد ( $46/50 \pm 25/02$ ) یا بدون آن ( $5/58 \pm 6/06$ ).

$p < 0/0001 ***$

جدول ۲: تعداد فولیکول‌های جداسازی شده از بافت منجمد شیشه‌ای-ذوب شده تخدمان انسانی

فولیکول بدوي	فولیکول اولیه	فولیکول ثانویه	نمونه ۱	نمونه ۲	نمونه ۳	نمونه ۴	نمونه ۵	نمونه ۶	نمونه ۷	نمونه ۸	نمونه ۹	نمونه ۱۰
۱۳	۱۷	۱۶	۱۸	۱۰	۱۸	۱۶	۱۷	۱۲	۱۰	۱۰	۱۰	۱۳
۵	۳	۴	۲	۹	۲	۳	۸	۱۰	۱۱	۳	۳	۵
۲	۰	۰	۰	۱	۰	۱	۰	۰	۰	۰	۰	۲

\* در این جدول حداقل تعداد فولیکول‌های جداسازی شده ۲۰ عدد در هر تکرار در نظر گرفته شده است.

\*\* هر نمونه معادل ۲ قطعه از بافت تخدمان یک بیمار است.

## بحث

جداسازی کرد. به طوری که با استفاده از رنگ حیاتی NR در یک بازه زمانی استاندارد (۴۵ تا ۶۰ دقیقه) میانگین  $25 \pm 46/50$  را جداسازی شد، در حالی که بدون استفاده از این رنگ با گذشت حدود دو ساعت از فرایند جداسازی میانگین حدود  $6/6 \pm 5/58$  فولیکول جداسازی گردید. انجماد قطعات بافت تخدمان یکی از روش‌های رایج کمک به دختران نابالغ مبتلا به سرطان و زنانی است که نمی‌توانند شیمی‌درمانی یا پرتو درمانی‌شان را به تعویق بیندازند (۳۳، ۱۱، ۹). اما از آنجایی که پیوند مجدد این بافت با احتمال بازگشت بد خیمی همراه است (۱۲)، جداسازی فولیکول‌ها با اهداف کشت آزمایشگاهی (۳۴، ۳۵) یا ساخت تخدمان مصنوعی و پیوند

مطالعه ما نشان داد که استفاده از آنزیم کلائزناز IA می‌تواند به عنوان یک آنزیم مؤثر، در کنار روش مکانیکی، به جداسازی فولیکول‌ها از بافت متراکم تخدمان انسانی کمک کند. از طرف دیگر، استفاده از Neutral Red به عنوان یک رنگ حیاتی به تشخیص سریع‌تر فولیکول‌های زنده و سالم کمک شایانی می‌کند. بنابراین، با استفاده از این رنگ، علاوه بر افزایش سرعت در تشخیص فولیکول‌ها درون بافت تخدمان و تأیید سلامت آنها، می‌توان در یک بازه زمانی کمتر، تعداد فولیکول‌های بیشتری برای اهداف مهندسی بافت یا کشت فولیکول

فولیکول‌های تخدمان استفاده کرد. به طوری که، چه با استفاده از رنگ حیاتی و چه در زمان بررسی زنده‌مانی فولیکول‌ها با استفاده از Ethidium homodimer I و Calcein Am ۳۰ تا ۴۵ دقیقه از فولیکول‌ها همچنان سالم بودند و با گذشت ۳۰ دقیقه از زمان ارزیابی به تدریج آسیب فولیکولی حاصل شد. علاوه بر اینکه استفاده از رنگ حیاتی نوتروال رد می‌تواند به فرایند جداسازی فولیکول‌های سالم سرعت بیشتری ببخشد. استفاده از نوتروال رد یک روش کارآمد برای شناسایی بهتر فولیکول‌های زنده و سالم و جداسازی آنها است (۲۷، ۳۱). هرچند نتایج آزمایش مطلوب بود، اما پیشنهاد می‌شود در مطالعات آینده و در صورت امکان آنزیم کلائزناز IA با یکی از اعضای خانواده لیپراز از جمله لیپراز DH یا لیپراز TM مقایسه شود و نتایج حاصل از آن گزارش شوند. تا در کارهای بالینی بهترین نوع آنزیم مورد استفاده قرار گیرد. یکی دیگر از محدودیت‌های موجود در این مطالعه استفاده از بافت تخدمان افراد تراجنسی است (۴۶، ۴۷). درمان هورمونی ممکن است در تعداد و کیفیت فولیکول‌های موجود اثربگذارد. در مطالعات مشابه از بافت تخدمان افرادی استفاده شد که به دلیل بیماری‌های زنانه تحت عمل لاباروسکوبی قرار گرفته بودند (۴۸، ۲۸، ۱۳). در صورتی که بتوان روش جداسازی فولیکول را در نمونه‌هایی غیر از افراد تراجنسی انجام داد. احتمال پیدا کردن فولیکول‌های با تعداد و سلامت بیشتر افزایش می‌یابد.

### نتیجه‌گیری

با توجه به آمار بالای ابتلا به سرطان در ایران و لزوم انجام بافت بافت تخدمان با هدف حفظ باروری در افراد مبتلا به سرطان اهمیت تحقیق در حوزه دانش به روز دنیا از جمله کشت فولیکول‌های تخدمان انسانی یا ساخت تخدمان مصنوعی به شدت احساس می‌شود. در همین راستا، جداسازی درست و دقیق فولیکول‌های انسانی از بافت منجمدشده تخدمان حائز اهمیت است. مطالعه حاضر سلامت فولیکول‌های جداسازی شده توسط آنزیم کلائزناز IA را تأیید کرد. در نتیجه می‌توان در مطالعات بعدی از آنزیم کلائزناز IA برای جداسازی موفق فولیکول‌های زنده انسانی استفاده کرد. همچنین استفاده از

۳۶) می‌تواند آینده بهتری برای این گروه از بیماران به همراه داشته باشد. از طرفی، بافت تخدمان انسانی، برخلاف تخدمان جوندگان، یک بافت متراکم و فیبروز است (۳۷، ۳۸). بنابراین استفاده از روش آنزیمی در کنار روش مکانیکی برای جداسازی بهتر فولیکول‌ها لازم است (۴۱-۴۹). در مطالعات گذشته از آنزیم‌های متفاوتی برای جداسازی فولیکول‌های تخدمان استفاده شده است. به طوری که، Dolmans Liberase blendzyme ۳ همکاران از آنزیم ۳ پلasmaticی انسانی استفاده کردند و بعد از قرار دادن فولیکول‌های حاصل از جداسازی در هیدروژل حاصل از لخته پلasmaticی آن را برای مدت ۷ روز (۲۴) و ۵ ماه (۲۲) به مدل موشی پیوند زدند. همچنین در سال‌های بعد استفاده از انواع لیپراز به جای آنزیم کلائزناز، به دلیل خلوص بیشتر و آسیب سلولی کمتر توجه بیشتری را به خود جلب کرد. به طوری که از لیپراز DH (۱۳، ۲۵)، لیپراز TM به همراه کلائزناز IV (۲۶، ۲۸) برای جداسازی فولیکول استفاده شد. از طرفی در Tumor Dissociation Enzyme آنزیم (TDE) برای جداسازی فولیکول پیشنهاد شد (۳۱). با این حال، خانواده آنزیم کلائزناز اولین آنزیمی بود که برای جداسازی فولیکول‌های موشی (۴۲، ۴۳) و انسانی (۴۴، ۴۱، ۲۹) استفاده شد. هرچند Dolmans در مطالعه خود با مقایسه دو آنزیم لیپراز و کلائزناز IA نشان داد که استفاده از لیپراز برای حفظ سلامت فولیکول‌ها مناسب‌تر است (۲۳). همچنین به نظر می‌رسد که آنزیم کلائزناز به دلیل داشتن اندوتوكسین و تفاوت در محتوای تولیدی احتمال آسیب به سلول با فولیکول را دارد (۱۹)، اما Mou loungui و همکاران با مقایسه سه آنزیم Collagenase IA و Liberase DH و Collagenase NB6 تفاوتی در سلامت و زنده‌مانی فولیکول‌های جداسازی شده انسانی مشاهده نکردند (۴۵). از آنجایی که دسترسی به آنزیم کلائزناز IA در ایران راحت‌تر و قیمت آن به مراتب مناسب‌تر است، بررسی اثر آن در فولیکول‌های جداسازی شده تخدمان اهمیت زیادی دارد. در همین راستا، مطالعه ما نشان داد که همچنان می‌توان از کلائزناز I برای جداسازی خوب و مؤثر

## ملاحظات اخلاقی

تمام نمونه‌های بندناو و تخدمان انسانی با توجه به مجوز کمیته اخلاق در پژوهشگاه رويان (IR.ACECR.ROYAN.REC.1400.023) پس از اخذ رضایت‌نامه و امضای آگاهانه از بیماران تهیه شده است.

## مشارکت نویسنده‌گان

دکتر روح‌الله فتحی در ارائه ایده، دکتر روح‌الله فتحی، دکتر سمیه توana، دکتر محمد کاظمی آشتیانی و فرناز تاجبخش در طراحی مطالعه، فرناز تاجبخش و دکتر اشرف معینی، نعیمه‌سادات ابطحی، لیلا‌سادات طاهائی در جمع‌آوری داده‌ها، دکتر روح‌الله فتحی و فرناز تاجبخش در تجزیه و تحلیل داده‌ها مشارکت داشته و همه نویسنده‌گان در تدوین، ویرایش اولیه و نهایی مقاله و پاسخگویی به سوالات مرتبط با مقاله سهیم هستند.

رنگ حیاتی Neutral Red به تشخیص و جداسازی سریع تر فولیکول‌های سالم کمک شایانی می‌نماید.

## سپاس‌گزاری

این طرح حاصل از پایان‌نامه است و با شماره کد ۹۹۰۰۱۴۲ در پژوهشگاه رويان به ثبت رسیده است. لازم است تا مراتب تشکر و قدردانی را از این نهاد، همراهان عزیzman در پژوهشگاه رويان، همکاران محترم بیمارستان آرش و همه عزیزانی که در انجام این طرح یاریمان کردند داشته باشیم. حامی مالی: این مطالعه با حمایت ستاد توسعه علوم و فناروی‌های سلوک‌های بنیادی ریاست جمهوری به شماره ۵۴۲۱۶ قرارداد انجام شد. تعارض در منافع: وجود ندارد.

## References:

- Bray F, Laversanne M, Sung H, Ferlay J, Siegel RL, Soerjomataram I, et al. *Global cancer statistics 2022: GLOBOCAN estimates of incidence and mortality worldwide for 36 cancers in 185 countries*. CA Cancer J Clin 2024; 74(3): 229-63.
- Akahori T, Woods DC, Tilly JLcmirh. *Female Fertility Preservation Through Stem Cell-Based Ovarian Tissue Reconstitution in Vitro and Ovarian Regeneration in Vivo*. Clin Med Insights Reprod Health 2019; 13: 1179558119848007.
- Dalmatello M, La Vecchia C, Bertuccio P, Boffetta P, Levi F, Negri E, et al. *European Cancer Mortality Predictions for the Year 2022 with Focus on Ovarian Cancer*. 2022; 33(3): 330-9.
- Fisch B, Abir RJR. *Female Fertility Preservation: Past, Present and Future*. Reproduction 2018; 156(1): F11-F27.
- Turan V, Oktay KJEoods. *Sexual and Fertility Adverse Effects Associated with Chemotherapy Treatment in Women*. Expert Opin Drug Saf 2014; 13(6): 775-83.
- Gupta TC, Kaur S. Secondary Infertility After Cancer Treatment. Complications of Cancer Therapy: Best Practices in Prevention and Management: Springer; 2024; 273-83.
- Dhonnabháin BN, Elfaki N, Fraser K, Petrie A, Jones BP, Sasó S, et al. *A Comparison of Fertility Preservation Outcomes in Patients Who Froze Oocytes, Embryos, Or Ovarian Tissue for Medically Indicated Circumstances: A Systematic Review and Meta-Analysis*. Fertil Steril 2022; 117(6): 1266-76.
- Donnez J, Dolmans M-M. *Fertility Preservation in Women*. N Engl J Med 2017; 377(17): 1657-65.

- 9-** Haering C, Coyne K, Daunov K, Anim S, Christianson MS, Flyckt RJ. *Ovarian Tissue Cryopreservation for Fertility Preservation in Patients with Hemoglobin Disorders: A Comprehensive Review.* J Clin Med 2024; 13(13): 3631.
- 10-** Khattak H, Gallos I, Coomarasamy A, Topping AJBo. *Why are Women Considering Ovarian Tissue Cryopreservation to Preserve Reproductive and Hormonal Ovarian Function? A Qualitative Study Protocol.* BMJ Open2022; 12(4): e051288
- 11-** Rajabi Z, Aliakbari F, Yazdekhasti H, infertility. *Female Fertility Preservation, Clinical And Experimental Options.* J Reprod Infertil 2018; 19(3): 125-32.
- 12-** Dolmans M-M, Marinescu C, Saussay P, Van Langendonckt A, Amorim C, Donnez JJB. *The Journal of the American Society of Hematology. Reimplantation of Cryopreserved Ovarian Tissue from Patients with Acute Lymphoblastic Leukemia Is Potentially Unsafe.* Blood 2010; 116(16): 2908-14.
- 13-** Chiti MC, Dolmans M-M, Hobeika M, Cernogoraz A, Donnez J, Amorim CA. *A Modified and Tailored Human Follicle Isolation Procedure Improves Follicle Recovery and Survival.* J Ovarian Res 2017; 10(1): 1-9.
- 14-** Irving-Rodgers HF, Rodgers RJ, Editors. *Extracellular Matrix of the Developing Ovarian Follicle.* Seminars In Reproductive Medicine; 2006. New York: Thieme Medical Publishers; 2003.P. 415-24.
- 15-** Chen J, Isachenko E, Wang W, Du X, Wang M, Rahimi G, et al. *Optimization of Follicle Isolation for Bioengineering of Human Artificial Ovary.* Biopreserv Biobank 2022; 20(6): 529-39.
- 16-** Shen J, Li W, Tan J, Xia C, Wang J, Zhou XJ. *Fertility Preservation Through Natural And Artificial Ovaries: A Review.* Sheng Wu Gong Cheng Xue Bao 2024; 40(5): 1469-85.
- 17-** Amorim CA, Shikanov AJFo. *The Artificial Ovary: Current Status and Future Perspectives.* Future Oncol 2016; 12(19): 2323-32.
- 18-** Salama M, Woodruff TKJAoegS. *From Bench to Bedside: Current Developments and Future Possibilities of Artificial Human Ovary to Restore Fertility.* Acta Obstet Gynecol Scand 2019; 98(5): 659-64.
- 19-** Lierman S, Tilleman K, Cornelissen M, De Vos WH, Weyers S, T'Sjoen G, et al. *Follicles of Various Maturation Stages React Differently to Enzymatic Isolation: A Comparison of Different Isolation Protocols.* Reprod Biomed Online 2015; 30(2): 181-90
- 20-** Tajbakhsh F, Tavana S, Ashtiani MK, Amorim CA, Fathi RJH, histopathology. *Optimal Human Ovarian Follicle Isolation: A Review Focused on Enzymatic Digestion.* Histol Histopathol 2024; 39(12): 1547-55.
- 21-** Faramarzi S, Kiani B, Faramarzi S, Firouraghi N. *Cancer Patterns in Iran: A Gender-Specific Spatial Modelling of Cancer Incidence during 2014–2017.* BMC Cancer 2024; 24(1): 191.
- 22-** Dolmans MM, Yuan WY, Camboni A, Torre A, Van Langendonckt A, Martinez-Madrid B, et al. *Development of Antral Follicles after Xenografting of Isolated Small Human Preantral Follicles.* Reprod Biomed Online 2008; 16(5): 705-11.
- 23-** Dolmans M-M, Michaux N, Camboni A, Martinez-Madrid B, Van Langendonckt A, Annarita Nottola S, et al. *Evaluation of Liberase, A Purified Enzyme Blend,*

- for the Isolation of Human Primordial and Primary Ovarian Follicles.* Hum Reprod 2006; 21(2): 413-20.
- 24-**Dolmans M-M, Martinez-Madrid B, Gadisseur E, Guiot Y, Yuan WY, Torre A, et al. *Short-Term Transplantation of Isolated Human Ovarian Follicles and Cortical Tissue into Nude Mice.* Reproduction 2007; 134(2): 253-62.
- 25-**Soares M, Saussoy P, Maskens M, Reul H, Amorim CA, Donne J, et al. *Eliminating Malignant Cells From Cryopreserved Ovarian Tissue is Possible in Leukaemia Patients* Br J Haematol 2017; 178(2): 231-39.
- 26-**Yin H, Kristensen S, Jiang H, Rasmussen A, Andersen CYJHR. *Survival and Growth of Isolated Pre-Antral Follicles from Human Ovarian Medulla Tissue during Long-Term 3D Culture.* Hum Reprod 2016; 31(7): 1531-9.
- 27-**Kristensen SG, Rasmussen A, Byskov AG, Andersen CYJHr. *Isolation Of Pre-Antral Follicles From Human Ovarian Medulla Tissue.* Hum Reprod 2011; 26(1): 157-66.
- 28-**Pors S, Ramløse M, Nikiforov D, Lundsgaard K, Cheng J, Andersen CY, et al. *Initial Steps in Reconstruction of the Human Ovary: Survival of Pre-Antral Stage Follicles in a Decellularized Human Ovarian Scaffold.* Hum Reprod 2019; 34(8): 1523-35.
- 29-**Oktay K, Nugent D, Newton H, Salha O, Chatterjee P, Gosden RGJF, et al. *Isolation and Characterization of Primordial Follicles from Fresh and Cryopreserved Human Ovarian Tissue.* Fertil Steril 1997; 67(3): 481-6.
- 30-**Nemes Z, Dietz R, Lüth J, Gomba S, Hackenthal E, Gross FJE. *The Pharmacological Relevance of Vital*

- Staining with Neutral Red.* Experientia 1979; 35(11): 1475-6.
- 31-**Chen J, Isachenko E, Wang W, Du X, Wang M, Rahimi G, et al. *Bioengineering of Human Artificial Ovary from Cryopreserved Tissue: Optimization of the Follicles Enzymatic Isolation.* 2021.
- 32-**Abtahi NS, Ebrahimi B, Fathi R, Khodaverdi S, Kashi AM, Valojerdi MR, et al. *An Introduction to the Royan Human Ovarian Tissue Bank.* Int J Fertil Steril 2016; 10(2): 261-3.
- 33-**Fathi R, Valojerdi MR, Ebrahimi B, Eivazkhani F, Akbarpour M, Tahaei LS, et al. *Fertility Preservation in Cancer Patients: In Vivo and in Vitro Options.* Cell J 2017; 19(2): 173.
- 34-**Shikanov A, Smith RM, Xu M, Woodruff TK, Shea LDJB. *Hydrogel Network Design Using Multifunctional Macromers to Coordinate Tissue Maturation in Ovarian Follicle Culture.* Biomaterials 2011; 32(10): 2524-31.
- 35-**Hassani F, Ebrahimi B, Moini A, Ghiaseddin A, Bazrafkan M, Hassanzadeh G, et al. *Chitosan Hydrogel Supports Integrity of Ovarian Follicles During in Vitro Culture: A Preliminary of a Novel Biomaterial for Three Dimensional Culture of Ovarian Follicles.* Cell J 2020; 21(4): 479.
- 36-**Chiti MC, Dolmans M-M, Orellana R, Soares M, Paulini F, Donne J, et al. *Influence of follicle stage on artificial ovary outcome using fibrin as a matrix.* Hum Reprod 2016; 31(2): 427-35.
- 37-**Stocco C, Baumgarten SC, Armouti M, Fierro MA, Winston NJ, Scoccia B, et al. *Genome-Wide Interactions between FSH and Insulin-Like Growth Factors in the Regulation of Human Granulosa Cell Differentiation.* Hum Reprod 2017; 32(4): 905-14.

- 38-**Ahn JI, Kim GA, Kwon HS, Ahn JY, Hubbell JA, Song YS, et al. *Culture of Preantral Follicles in Poly(Ethylene) Glycol- Based, Three- Dimensional Hydrogel: A Relationship between Swelling Ratio and Follicular Developments.* J Tissue Eng Regen Med 2015; 9(3): 319-23.
- 39-**Telfer E, Torrance C, Gosden RJR. *Morphological Study of Cultured Preantral Ovarian Follicles of Mice after Transplantation Under the Kidney Capsule.* Reprod Fertil 1990; 89(2): 565-71.
- 40-**Gosden RJHR. *Restitution of Fertility in Sterilized Mice by Transferring Primordial Ovarian Follicles.* Hum Reprod 1990; 5(2): 117-22.
- 41-**Figueiredo JR, Hulshof S, Van den Hurk R, Ectors F, Fontes R, Nusgens B, et al. *Development of a Combined New Mechanical and Enzymatic Method for the Isolation of Intact Preantral Follicles from Fetal, Calf and Adult Bovine Ovaries.* Theriogenology 1993; 40(4): 789-99.
- 42-**Xu M, Kreeger PK, Shea LD, Woodruff TK. *Tissue-Engineered Follicles Produce Live, Fertile Offspring.* Tissue Eng 2006; 12(10): 2739-46.
- 43-**Abir R, Roizman P, Fisch B, Nitke S, Okon E , Orvieto R, et al. *Pilot Study of Isolated Early Human Follicles Cultured in Collagen Gels for 24 Hours.* Hum Reprod 1999; 14(5): 1299-301.
- 44-**Abir R, Fisch B, Nitke S, Okon E, Raz A, Rafael ZBF, et al. *Morphological Study of Fully and Partially Isolated Early Human Follicles.* Fertil Steril 2001; 75(1): 141-6.
- 45-**Mouloungui E, Zver T, Roux C, Amiot CJ. A *Protocol to Isolate and Qualify Purified Human Preantral Follicles in Cases of Acute Leukemia, for Future Clinical Applications.* J Ovarian Res 2018; 11(1): 1-15.
- 46-**Ikeda K, Baba T, Noguchi H, Nagasawa K, Endo T, Kiya T, et al. *Excessive Androgen Exposure in Female-To-Male Transsexual Persons of Reproductive Age Induces Hyperplasia of The Ovarian Cortex and Stroma but Not Polycystic Ovary Morphology.* Hum Reprod 2013; 28(2): 453-61.
- 47-**Pirtea P, Ayoubi JM, Desmedt S, T'Sjoen GJF, sterility. *Ovarian, Breast, and Metabolic Changes Induced by Androgen Treatment in Transgender Men.* Fertil Steril 2021; 116(4): 936-42.
- 48-**Paulini F, Vilela JM, Chiti MC, Donne J, Jadoul P, Dolmans M-M, et al. *Survival and Growth of Human Preantral Follicles after Cryopreservation of Ovarian Tissue, Follicle Isolation and Short-Term Xenografting.* Reprod Biomed Online 2016; 33(3): 425-32.

## Isolation of viable follicles from cryopreserved human ovarian tissue

Farnaz Tajbakhsh<sup>1,2</sup>, Somayeh Tavana<sup>2</sup>, Mohammad Kazemi Ashtiani<sup>3</sup>, Naeimeh Sadat Abtahi<sup>2</sup>, Leila Sadat Tahaei<sup>2</sup>, Ashraf Moini<sup>4,5,6</sup>, Rouhollah Fathi<sup>\*2</sup>

### Original Article

**Introduction:** Ovarian tissue freezing is the most effective method to maintain fertility for immature girls and women diagnosed with cancer. Nonetheless, because of the chance that malignant cells might reappearing following tissue transplantation, it is crucial to isolate the follicles from the frozen-thawed ovarian tissue of these individuals and employ them in the process of in vitro maturation process or artificial ovarian framework. This study aimed to assess the application of neutral red (NR) vital dye alongside collagenase IA for effectively isolating viable follicles from the vitrified human ovarian tissue samples.

**Methods:** Two categories existed: the category with NR and the group without NR. Chopped ( $0.5 \times 0.5$  mm) strips of vitrified-warmed ovarian tissue from 10 transsexual individuals were placed into two falcon tubes with HTCM and Collagenase IA (1mg/ml). Neutral red (NR) was introduced to one of the falcons. Follicles were then isolated mechanically. The morphology, size, and viability of the follicles were assessed. The condition of the follicles was evaluated using fluorescent staining methods involving Calcein-AM and Ethidium homodimer-I. The t-test method was used to evaluate the data.

**Results:** The number of isolated follicles with Neutral Red ( $46.50 \pm 25/02$ ) exceeded those without NR ( $6.6 \pm 5.58$ ;  $P < 0.0001$ ). Additionally, according to the morphological studies, a majority of the isolated follicles from the transsexual ovarian cortex were primordial (77.4%), and primary (21.12%) follicles, with only a small number of secondary follicles (1.4%) identified in these tissues. Live/dead staining verified the viability of isolated follicles by displaying a green hue.

**Conclusion:** The finding indicates that combining collagenase I with the vital dye Neutral red significantly facilitates the isolation of follicles from dense human ovarian tissue.

**Keywords:** human follicle isolation, Neutral Red, cryopreservation, tissue engineering, live/dead staining.

**Citation:** Tajbakhsh F, Tavana S, Kazemi Ashtiani M, Abtahi N.S, Tahaei L.S, Moini Ashraf, Fathi R. **Isolation of viable follicles from cryopreserved human ovarian tissue.** J Shahid Sadoughi Uni Med Sci 2024; 32(10): 8330-41.

<sup>1</sup>Department of Developmental Biology, University of Science and Culture, Tehran, Iran.

<sup>2</sup>Department of Embryology, Reproductive Biomedicine Research Center, Royan Institute for Reproductive Biomedicine, ACECR, Tehran, Iran.

<sup>3</sup>Department of Cell Engineering, Cell Science Research Center, Royan Institute for Stem Cell Biology and Technology, ACECR, Tehran, Iran.

<sup>4</sup>Department of Endocrinology and Female Infertility, Reproductive Biomedicine Research Center, Royan Institute for Reproductive Biomedicine, ACECR, Tehran, Iran.

<sup>5</sup>Breast Disease Research Center (BDRC), Tehran University of Medical Science, Tehran, Iran.

<sup>6</sup>Department of Gynecology and Obstetrics, Arash Women's Hospital, Tehran University of Medical Sciences, Tehran, Iran

\*Corresponding author: Tel: 09129479621, email: rfathi79@royaninstitute.org